

## **КОНЦЕПЦИЯ ДИНАМИЧЕСКИХ ИНВАРИАНТОВ В ОЦЕНКЕ ВИБРАЦИОННЫХ ПОЛЕЙ РАБОЧИХ ОРГАНОВ ВИБРАЦИОННЫХ ТЕХНОЛОГИЧЕСКИХ МАШИН**

*Елисеев А.В.<sup>1,2</sup>, Кузнецов Н.К.<sup>2</sup>, Николаев А.В.<sup>1</sup>*

<sup>1</sup>*Иркутский государственный университет путей сообщения, Иркутск;*

<sup>2</sup>*Иркутский национальный исследовательский технический университет, Иркутск*

**Ключевые слова:** структурное математическое моделирование, динамика вибрационных взаимодействий, связность силовых возмущений, формы взаимодействий элементов системы, динамические инварианты, вибрационное поле.

**Аннотация.** Развивается концепция динамических инвариантов для оценки многообразия состояний и форм взаимодействий элементов механических колебательных систем, включающих в состав твердое тело. Ставится задача оценки динамических особенностей объекта системы, находящейся в условиях связанных вибрационных нагружений силовой природы. Разработан подход оценки динамических состояний твердого тела в условиях связанных возмущений. Показано, что коэффициент связности двух возмущений может быть интерпретирован как координата точки приложения одного возмущения. В рамках предложенной интерпретации множество точек твердого тела может быть разбито на области, точки которых обладают одинаковыми динамическими характеристиками. Созданный подход к оценке динамических состояний обладает потенциалом разработки технологий управления вибрационным полем рабочих органов технологических машин на основе обобщенных представлений о динамических состояниях.

## **THE CONCEPT OF DYNAMIC INVARIANTS IN THE EVALUATION OF THE VIBRATION FIELD OF THE WORKING BODY OF A VIBRATING TECHNOLOGICAL MACHINE**

*Eliseev A.V.<sup>1,2</sup>, Kuznetsov N.K.<sup>2</sup>, Nikolaev A.V.<sup>1</sup>*

<sup>1</sup>*Irkutsk State Transport University, Irkutsk;*

<sup>2</sup>*Irkutsk National Research Technical University, Irkutsk*

**Keywords:** structural mathematical modeling, dynamics of vibrational interactions, connectivity of force disturbances, forms of interactions of system elements, dynamic invariants, vibrational field.

**Abstract.** The task of assessing the dynamic states and forms of dynamic interactions of a system element under conditions of coherent vibrational loads of a force nature is set. An approach for estimating the dynamic states of a solid under conditions of connected perturbations has been developed. It is shown that the coefficient of connectivity of force disturbances can be interpreted as the coordinate of the point of application of an external disturbance. Within the framework of the proposed interpretation of the connectivity coefficient using the coordinate of the force perturbation application, the set of points of a solid body can be divided into regions whose points have the same dynamic characteristics.

**Введение.** В настоящее время разработка методов управления вибрационными полями рабочих органов технологических машин обладает существенным потенциалом в плане увеличения эффективности реализации производственных процессов [1-3]. Существенное значение приобретают методы структурного математического моделирования, в рамках которых механической колебательной системе, используемой в качестве расчетной схемы технического объекта, сопоставляется схема эквивалентной в динамическом отношении системы автоматического управления [4-6]. Определенное развитие получили структурные методы в моделировании динамических состояний технических объектов, являющихся рабочими органами вибрационных технологических машин [7-9]. Вместе с тем, ряд вопросов требует детализации представлений, позволяющих охарактеризовать совокупность динамических состояний рабочего органа вибрационной технологической машины в зависимости от особенностей приложения силового возмущения.

Предлагаемая статья посвящена вопросам оценки динамических состояний и форм динамических взаимодействий элементов механической колебательной системы в виде твердого тела, находящегося в условиях связанных вибрационных нагружений силовой природы.

**I. Основные положения. Постановка задачи.** Рассматривается механическая колебательная система, образованная твердым телом, обладающим массой  $M$  и моментом инерции  $J$ , установленном на упругие элементы  $k_1, k_2$  (рис. 1). Предполагается, что система совершает малые вынужденные установившиеся колебания относительно положения статического равновесия под воздействием гармонических синфазных силовых возмущений  $Q_1, Q_2$ , приложенных к точкам  $A$  и  $B$ . Центр тяжести находится в точке  $O$  отрезка  $AB$  на расстоянии  $l_1$  и  $l_2$  от точек  $A$  и  $B$ . В качестве обобщенных координат  $y_1, y_2$  рассматриваются смещения точек  $A$  и  $B$  относительно положения статического равновесия. Наравне с системой координат  $y_1, y_2$  рассматривается система обобщенных координат  $\varphi, z$ , где  $\varphi$  – угол поворота твердого тела относительно центра тяжести, а  $z$  – величина вертикального смещения центра тяжести относительно положения статического равновесия.

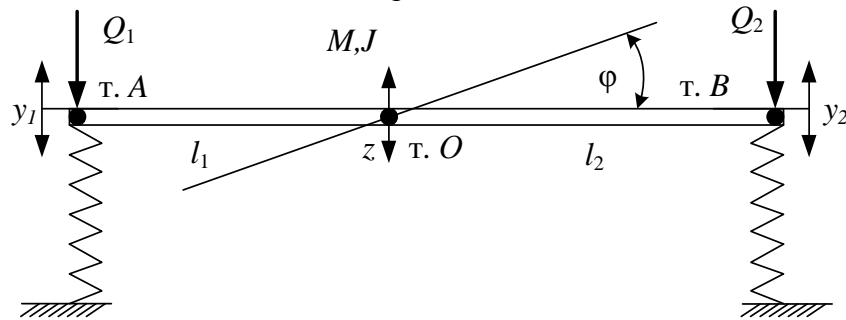


Рис. 1. Механическая колебательная система

Предполагается, что внешние синфазные силовые возмущения  $Q_1, Q_2$  зависимы:

$$Q_2 = \gamma Q_1, \quad (1)$$

где  $\gamma$  – коэффициент связности.

Приложение силовых возмущений  $Q_1$  и  $Q_2$  на различных частотах приводит к реализации динамических состояний, включающих критические состояния в виде режимов резонанса и режимов обнуления амплитуд колебания точки твердого тела, динамические состояния которой оцениваются.

Задача заключается в определении совокупности состояний и форм динамических взаимодействий элементов механической колебательной системы, образованной твердым телом, в зависимости от коэффициента связности внешних возмущений.

**II. Математическая модель.** Система дифференциальных уравнений движения твердого тела может быть построена в рамках формализма уравнений Лагранжа 2-ого рода. Потенциальная и кинетическая энергии колебательной системы могут быть выражены в координатах  $y_1, y_2, \varphi, z$ :

$$\Pi = \frac{1}{2} k_1 y_1^2 + \frac{1}{2} k_2 y_2^2, \quad (2) \quad \Gamma = \frac{1}{2} M z^2 + \frac{1}{2} J \varphi^2. \quad (3)$$

Используемые системы координат  $\{y_1, y_2\}$  и  $\{\varphi, z\}$  связаны соотношениями

$$\begin{cases} y = a y_1 + b y_2 \\ \varphi = c (y_2 - y_1) \end{cases} \quad \text{и} \quad \begin{cases} y_1 = y - l_1 \varphi \\ y_2 = y + l_2 \varphi \end{cases}, \quad (4)$$

$$\text{где } a = \frac{l_2}{l_1 + l_2}; b = \frac{l_1}{l_1 + l_2}; c = \frac{1}{l_1 + l_2}.$$

Приведенная к координатам  $\{y_1, y_2\}$  на основе известных методов [4] механическая колебательная система (рис. 1) может быть представлена в виде структурной схемы (рис. 2).

Динамические особенности движения твердого тела под действием внешних возмущений могут быть выражены с помощью передаточных отношений системы и межпарциальных связей [4].

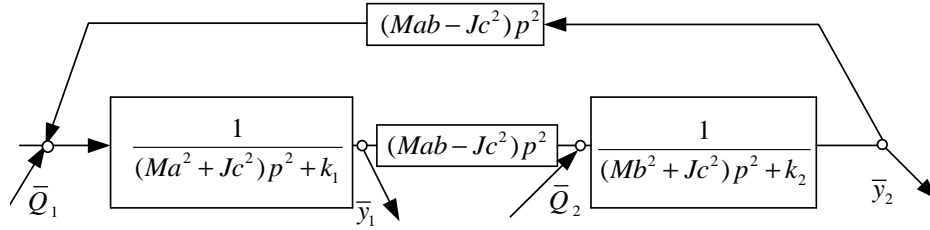


Рис. 2. Структурная схема механической колебательной системы (рис. 1),  $p=j\omega$  – комплексная переменная,  $j=\sqrt{-1}$ ,  $\omega$  – частота внешнего возмущения, символ «-» над переменной обозначает изображение Лапласа [10]

### III. Оценка динамических состояний механической колебательной системы на основе передаточных отношений системы

1. Для оценки динамического состояния в точке  $B$  (рис. 1) на основе структурной схемы при условии связности (1) может быть построена передаточная функция системы:

$$W_{21}(p) = \frac{\bar{y}_2}{\bar{Q}_1} \Big|_{\bar{Q}_1 \neq 0} = \frac{((Ma^2 + Jc^2)p^2 + k_1)\gamma - (Mab - Jc^2)p^2}{A(p)}, \quad (5)$$

где  $A(p) = ((Ma^2 + Jc^2)p^2 + k_1)((Mb^2 + Jc^2)p^2 + k_2) - ((Mab - Jc^2)p^2)^2$  представляет собой характеристический многочлен системы.

Амплитудно-частотная характеристика передаточной функции (5) имеет вид:

$$A_{21}(\gamma, \omega) = \frac{(-(Ma^2 + Jc^2)\omega^2 + k_1)\gamma + (Mab - Jc^2)\omega^2}{(-(Ma^2 + Jc^2)\omega^2 + k_1)(-(Mb^2 + Jc^2)\omega^2 + k_2) - ((Mab - Jc^2)\omega^2)^2}. \quad (6)$$

Собственные частоты  $\sigma_1$ ,  $\sigma_2$  системы определяются из биквадратного характеристического уравнения  $A(j\omega)=0$ . Парциальные частоты  $n_1$  и  $n_2$  определяются выражениями:

$$n_1^2 = \frac{k_1}{Ma^2 + Jc^2}, \quad (7) \quad n_2^2 = \frac{k_2}{Mb^2 + Jc^2}. \quad (8)$$

На основе числителя амплитудно-частотной характеристики (6) может быть определена так называемая частотная функция обнуления амплитуды колебания координаты  $y_2$ :

$$\omega^2(\gamma) = \frac{k_1\gamma}{(Ma^2 + Jc^2)\gamma - (Mab - Jc^2)}. \quad (9)$$

Для каждого фиксированного коэффициента связности  $\gamma$  существенные особенности динамических взаимодействий элементов системы, выражающиеся в количествах резонансов, режимов динамического гашения, положительных и отрицательных форм динамических взаимодействий, могут быть определены с учетом расположения  $\sigma_1$ ,  $\sigma_2$  частот собственных колебаний системы относительно частоты  $\omega^2(\gamma)$  обнуления амплитуды колебания координаты  $y_2$  (9).

2. Для построения конкретной совокупности динамических инвариантов может быть рассмотрена механическая колебательная система в предположении, что для собственных частот  $\sigma_1$ ,  $\sigma_2$  системы и парциальных частот  $n_1$  и  $n_2$  выполнены условия:

$$\sigma_1 < \min \{n_1, n_2\} < \max \{n_1, n_2\} < \sigma_2. \quad (10)$$

В этом случае на основе частотной функции могут быть определены значение коэффициента связности  $\gamma_0$ , в котором частотная функция (9) обнуляется, и значение  $\gamma_{kp}$ , в котором частотная функция (9) терпит разрыв второго рода:

$$\omega^2(\gamma_0) = 0, \quad (11) \quad \gamma_{kp} = \frac{Mab - Jc^2}{Ma^2 + Jc^2}. \quad (12)$$

В свою очередь, совпадение частотной функции обнуления  $\omega^2(\gamma)$  с собственными частотами  $\sigma_1$ ,  $\sigma_2$  механической колебательной системы определяет особые значения  $\gamma_1$ ,  $\gamma_2$  коэффициента связности:

$$\omega^2(\gamma_1) = \sigma_1^2, \quad (13) \quad \omega^2(\gamma_2) = \sigma_2^2. \quad (14)$$

Совокупность динамических инвариантов позволяет охарактеризовать бесконечное семейство взаимодействий элементов системы в виде амплитудно-частотных характеристик, зависящего от коэффициента связности  $\gamma$ , с помощью конечного набора динамических инвариантов, обладающими характеристиками вида  $S_1^k F_n^m$ , где  $k$  – количество резонансов,  $l$  – количество режимов обнуления амплитуды колебания координаты объекта, динамическое состояние которого оценивается,  $m$  – количество положительных форм взаимодействий,  $n$  – количество отрицательных форм динамических взаимодействий,  $J_{k+l+m+n}$  – интегральная характеристика (табл. 1).

Табл. 1. Динамические инварианты в зависимости от коэффициента связности  $\gamma$

	1	2	3	4	5	6	7	8	9
I	$\gamma < \gamma_1$	$\gamma = \gamma_1$	$\gamma_1 < \gamma < \gamma_0$	$\gamma = \gamma_0$	$\gamma_0 < \gamma < \gamma_{kp}$	$\gamma = \gamma_{kp}$	$\gamma_{kp} < \gamma < \gamma_2$	$\gamma = \gamma_2$	$\gamma_2 < \gamma$
II	$S_1^2 F_2^2$	$S_0^1 F_1^1$	$S_1^2 F_2^2$	$S_1^2 F_1^2$	$S_0^2 F_1^2$	$S_0^2 F_1^2$	$S_1^2 F_2^2$	$S_0^1 F_1^1$	$S_1^2 F_2^2$
III	$J_7$	$J_3$	$J_7$	$J_6$	$J_5$	$J_5$	$J_7$	$J_3$	$J_7$

Каждый динамический инвариант отображает частотный характер взаимодействий элементов механической колебательной системы, реализующийся в выбранной точке твердого тела в зависимости от коэффициента связности внешних возмущений.

Вместе с тем, коэффициент связности  $\gamma$ , отражающий зависимость двух внешних возмущений  $Q_1$  и  $Q_2$ , может быть интерпретирован координатой точки приложения возмущения  $Q_0$ , к которой, за исключением случая, когда силовые возмущения образуют пару, может быть приведена данная совокупность возмущений. Возмущающее воздействие  $Q_0$  с физической точки зрения может отображать особенности инерционного возбуждения колебаний рабочего органа технологических вибрационных машин [4].

**IV. Интерпретация динамического состояния объекта в зависимости от точки приложения возмущающего воздействия.** Рассматривается механическая колебательная система (рис. 1), в которой силовые возмущения  $Q_1$  и  $Q_2$  приведены к одному  $Q_0$  (рис. 4).

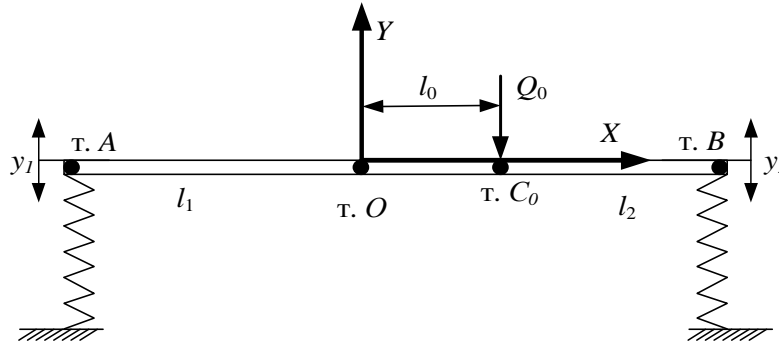


Рис. 4. Механическая колебательная система:  $Q_0$  – приведенное к точке  $C_0$  силовое возмущение

Силовое возмущение  $Q_0$  может быть найдено из условий совпадения главного вектора и главного момента систем сил  $\{Q_1, Q_2\}$  и  $\{Q_0\}$  относительно центра  $O$ :

$$\begin{cases} Q_0 = Q_2 + Q_1 \\ -l_0 Q_0 = -l_2 Q_2 + l_1 Q_1 \end{cases} \quad (15)$$

где  $Q_2 = \gamma Q_1$  – связанные силовые возмущения.

В случае, если совокупность сил  $\{Q_1, Q_2\}$  не образует пару  $\{Q_1, -Q_1\}$ , то она может быть представлена одной силой  $Q_0 = (\gamma + 1)Q_1$ , приложенной к точке  $C_0$ , которая удалена от центра  $O$  на расстояние  $l_0$ :

$$l_0 = \frac{l_2 \gamma - l_1}{1 + \gamma} \quad (16)$$

Координата  $l_0$  точки  $C_0$  приложения приведенной силы  $Q_0$  зависит от коэффициента связности  $\gamma$  и может рассматриваться как функция  $l_0(\gamma)$ , график которой терпит разрыв второго рода для значения  $\gamma = -1$ .

На основе (16) функциональной зависимости  $l_0(\gamma)$  особые точки  $\gamma_1, \gamma_0, \gamma_{кр}, \gamma_2$  могут быть отображены в особые координаты  $l_{01}=l_0(\gamma_1), l_{00}=l_0(\gamma_0), l_{0кр}=l_0(\gamma_{кр}), l_{02}=l_0(\gamma_2)$  (рис. 5). Таким образом, интервалам и особым значениям коэффициента связности  $\gamma$  могут быть сопоставлены интервалы и особые координаты  $l_0$  точки приложения силы  $Q_0$  с учетом разрыва второго рода в точке  $\gamma = -1$ .

Вместе с тем, каждой координате  $l_0$  приложения силового возмущения  $Q_0$  можно сопоставить коэффициент связности  $\gamma$  внешних возмущений:

$$\gamma = \frac{l_1 + l_0}{l_2 - l_0}. \quad (17)$$

Зависимость коэффициента связности  $\gamma$  от координаты  $l_0$  приложения силового возмущения  $Q_0$  представляет собой зависимость с точкой разрыва  $l_0 = l_2$ .

Обратное отображение  $\gamma(l_0)$ , сопоставляющее координате  $l_0$  значение коэффициента связности, позволяет определить «распределение» динамических инвариантов по «поверхности» твердого тела (табл. 2).

Табл. 2. Динамические инварианты в зависимости от координаты  $l_0$

	1	2	3	4	5	6	7	8	9	10
I	$l_0 < -l_1$	$l_0 = -l_1$	$-l_1 < l_0 < l_{0кр}$	$l_0 = l_{0кр}$	$l_{0кр} < l_0 < l_{02}$	$l_0 = l_{02}$	$l_{02} < l_0 < l_2$	$l_2 < l_0 < l_{01}$	$l_0 = l_{01}$	$l_{01} < l_0$
II	$S_1^2 F_2^2$	$S_1^2 F_1^2$	$S_0^2 F_1^2$	$S_0^2 F_1^2$	$S_1^2 F_2^2$	$S_0^1 F_1^1$	$S_1^2 F_2^2$	$S_1^2 F_2^2$	$S_0^1 F_1^1$	$S_1^2 F_2^2$
III	$J_7$	$J_6$	$J_5$	$J_5$	$J_7$	$J_3$	$J_7$	$J_7$	$J_3$	$J_7$

Особенности «распределения» динамических инвариантов определяются значениями координат  $l_{01}, l_{00}, l_{0кр}, l_{02}$ . На интервалах и особых точках координаты  $l_0$  могут быть определены значения интегральных характеристик динамических инвариантов. Так на интервале  $-l_1 < l_0 < l_{0кр}$  реализуется динамический инвариант  $S_0^2 F_1^2$ , который исключает возможность реализации в точке  $B$  режима обнуления амплитуды колебания. В точке  $l_0 = l_{02}$  реализуется режим  $S_0^1 F_1^1$ , который характерен для систем с одной степенью свободы.

Таким образом, динамическое многообразие области твердого тела, в данном случае представленной фиксированной точкой, проявляющееся в результате приложения возмущающих воздействий на различных частотах, может быть определено конечным набором динамических инвариантов, «распределенных» по поверхности твердого тела.

**Заключение.** В рамках методологии структурного математического моделирования рассмотрена задача оценки разнообразия динамических состояний области твердого тела в зависимости от коэффициента связности внешних возмущений силовой природы. Показано, что коэффициент связности с физической точки зрения может быть интерпретирован как координата точки приложения силового возмущения. Предложенная интерпретация позволяет обнаруживать на твердом теле области, приложение к которым возмущающих воздействий приводит к проявлению в заданной точке, динамическое состояние которой оценивается, различных форм и состояний динамических взаимодействий, которые в свою очередь, могут быть охарактеризованы конечным набором динамических инвариантов.

Предложенный подход оценки динамических состояний фиксированной точки твердого тела в зависимости от приложения внешнего возмущения может быть расширен для оценки разнообразия динамических состояний произвольной области твердого тела.

Разработанная методика обладает потенциалом создания на её основе технологии управления вибрационным полем рабочего органа вибрационной технологической машины на основе концепции динамических инвариантов.

#### Список литературы

1. Harris С.М., Crede С.Е. Shock and Vibration Handbook. – New York: McGraw – Hill Book Co, 2002. – 1457 p.
2. Пановко Г.Я. Динамика вибрационных технологических процессов. – М.-Ижевск: НИЦ «Регулярная и хаотическая динамика», Институт компьютерных технологий, 2006. – 176 с.
3. Копылов Ю.Р. Динамика процессов виброударного упрочнения: монография. – Воронеж: ИПЦ «Научная книга», 2011. – 568 с.

4. Елисеев С.В. Прикладной системный анализ и структурное математическое моделирование (динамика транспортных и технологических машин: связность движений, вибрационные взаимодействия, рычажные связи): монография. – Иркутск: ИрГУПС, 2018. – 692 с.
5. Karnovsky I.A., Lebed E. Theory of Vibration Protection. – Switzerland: Springer International Publishing, 2016. – 708 p.
6. Елисеев С.В., Хоменко А.П. Динамическое гашение колебаний: концепция обратной связи и структурные методы математического моделирования. – Новосибирск: Наука, 2014. – 357 с.
7. Елисеев А.В., Арюнин А.И., Нгуен Д.Х., Вьонг К.Ч. Управление вибрационным полем технологической машины на основе изменения приведенных инерционных свойств // Вибрационные технологии, мехатроника и управляемые машины: сб. науч. ст.: в 2 ч. – Ч. 1. – Курск: Юго-Зап. гос. ун-т, 2016. – 343 с.
8. Елисеев С.В., Елисеев А.В. Особенности возникновения зазора в механической системе с неустойчивой связью при импульсном воздействии // Современные технологии. Системный анализ. Моделирование. – 2013. – №2(38). – С. 36-45.
9. Елисеев А.В., Ситов И.С., Елисеев А.В. Движение материальной частицы с подбрасыванием на примере модельной задачи с неустойчивыми связями // Машиностроение и безопасность жизнедеятельности. – 2012. – №3(13). – С. 53-59.
10. Лурье А.И. Операционное исчисление и применение в технических приложениях. – М.: Наука. 1959. – 368с.

### References

1. Harris C.M., Crede C.E. Shock and Vibration Handbook. – New York: McGraw – Hill Book Co, 2002. – 1457 p.
2. Panovko G.Ya. Dynamics of vibrational technological processes. – M.-Izhevsk: SRC "Regularistic and chaotic dynamics", Institute of Computer Technologies, 2006. – 176 p.
3. Kopylov Yu.R. Dynamics of vibration-shock hardening processes: monograph. – Voronezh: CPI "Scientific Book", 2011. – 568 p.
4. Eliseev S.V. Applied system analysis and structural mathematical modeling (dynamics of transport and technological machines: connectivity of movements, vibration interactions, lever connections): monograph. – Irkutsk: IrGUPS, 2018. – 692 p.
5. Karnovsky I.A., Lebed E. Theory of Vibration Protection. – Switzerland: Springer International Publishing, 2016. – 708 p.
6. Eliseev S.V., Khomenko A.P. Dynamic vibration damping: feedback concept and structural methods of mathematical modeling. – Novosibirsk: Science, 2014. – 357 p.
7. Eliseev A.V., Aryunin A.I., Nguyen D.H., Vyong K.C. Control of the vibration field of a technological machine based on changes in the reduced inertial properties // Vibration technologies, mechatronics and controlled machines: collection of scientific articles: in 2 parts. – Part 1. – Kursk: South-West State University, 2016. – 343 p.
8. Eliseev S.V., Eliseev A.V. Features of the occurrence of a gap in a mechanical system with an unstoppable coupling under pulsed action // Modern technologies. System analysis. Modeling. 2013, no. 2(38), pp. 36-45.
9. Eliseev A.V., Sitov I.S., Eliseev A.V. Motion of a material particle with tossing on the example of a model problem with unstoppable connections // Mechanical engineering and life safety. Scientific and Technical Journal. 2012, no.3(13), pp. 53-59.
10. Lurie A.I. Operational calculus and application in technical applications. – М.: Science. 1959. – 368 p.

#### *Сведения об авторах:*

#### *Information about authors:*

<b>Елисеев Андрей Владимирович</b> – кандидат технических наук, доцент кафедры математики ИрГУПС, доцент кафедры конструирования и стандартизации в машиностроении ИрННТУ	<b>Eliseev Andrey Vladimirovich</b> – candidate of technical sciences, associate professor of the Department of mathematics, associate professor of the Department of design and standardization in mechanical engineering
<b>Кузнецов Николай Константинович</b> – доктор технических наук, профессор кафедры конструирования и стандартизации в машиностроении	<b>Kuznetsov Nikolai Konstantinovich</b> – doctor of technical sciences, professor of the Department of design and standardization in mechanical engineering
<b>Николаев Андрей Владимирович</b> – соискатель eavsh@ya.ru	<b>Nikolaev Andrey Vladimirovich</b> – applicant

*Получена 30.09.2022*